

# 哈密顿路径的饱和数

丁天平, 晋亚磊\*, 张茜

(上海师范大学 数理学院, 上海 200234)

**摘要:** 给定一个图  $F$ , 如果图  $G$  中不包含  $F$ , 且在  $G$  中添加图  $G$  的补图  $\bar{G}$  的任意一条边  $e$  后得到的图  $G + e$  中包含  $F$ , 则称图  $G$  为  $F$ -饱和图. 设  $\text{sat}(n, F) = \min\{|E(G)| : |V(G)|=n, G \text{ 是 } F\text{-饱和图}\}$ . 证明了当  $n \in K = \{34, 35, 36, 37, 44, 45, 52, 53\}$  时都有  $\text{sat}(n, P_n) = \left\lceil \frac{3n-2}{2} \right\rceil$ , 并给出边数最少的哈密顿路径饱和图的一种构造方法.

**关键词:** 饱和图; 饱和数; 极值图; 哈密顿路径

**中图分类号:** O 241    **文献标志码:** A    **文章编号:** 1000-5137(2022)03-0306-06

## On the saturation number of Hamiltonian path

DING Tianping, JIN Yalei\*, ZHANG Qian

(Mathematics and Science College, Shanghai Normal University, Shanghai 200234, China)

**Abstract:** Let  $F$  be a graph and graph  $G$  is said to be  $F$ -saturated if  $G$  is  $F$ -free. However, for any edge  $e \in E(\bar{G})$ ,  $G + e$  contains  $F$ . Let  $\text{sat}(n, F) = \min\{|E(G)| : |V(G)|=n \text{ and } G \text{ is } F\text{-saturated}\}$ . We will show that there exists  $\text{sat}(n, P_n) = \left\lceil \frac{3n-2}{2} \right\rceil$ , where  $n \in K = \{34, 35, 36, 37, 44, 45, 52, 53\}$ , and we will construct a group of hamiltonian path saturated graphs with the smallest size of order  $n$ , for  $n \geq 22$ .

**Key words:** saturated graph; saturation number; extremum graph; Hamiltonian path

## 0 引言

极值图论是图论中一个重要的研究分支, 特别是对于饱和图的研究. 给定一个图  $F$ , 如果图  $G$  中不包含  $F$ , 且在  $G$  中添加图  $G$  的补图  $\bar{G}$  的任意一条边  $e$  后得到的图  $G + e$  中包含  $F$ , 则称图  $G$  为  $F$ -饱和

**收稿日期:** 2022-04-20

**基金项目:** 国家自然科学基金面上项目 ( 11971319 )

**作者简介:** 丁天平(1997—), 男, 硕士研究生, 主要从事图论方面的研究. E-mail: 1019526199@qq.com

\***通信作者:** 晋亚磊(1986—), 男, 副教授, 主要从事组合与图论方面的研究. E-mail: yaleijin@shnu.edu.cn

**引用格式:** 丁天平, 晋亚磊, 张茜. 哈密顿路径的饱和数 [J]. 上海师范大学学报(自然科学版), 2022, 51(3): 306–311.

**Citation format:** DING T P, JIN Y L, ZHANG Q. On the saturation number of Hamiltonian path[J]. Journal of Shanghai Normal University(Natural Sciences), 2022, 51(3): 306–311.

图. 对于正整数  $n$  及给定的一个图  $F$ , 定义:

$$\text{Ex}(n, F) = \{G : |V(G)| = n, |E(G)| = \text{ex}(n, F), G \text{ 是 } F\text{-饱和图}\},$$

$$\text{Sat}(n, F) = \{G : |V(G)| = n, |E(G)| = \text{sat}(n, F), G \text{ 是 } F\text{-饱和图}\},$$

其中,  $\text{ex}(n, F) = \max\{|E(G)| : |V(G)| = n, G \text{ 是 } F\text{-饱和图}\}$ ,  $\text{sat}(n, F) = \min\{|E(G)| : |V(G)| = n, G \text{ 是 } F\text{-饱和图}\}$ .  $\text{ex}(n, F)$ ,  $\text{sat}(n, F)$  分别称为图  $F$  的图兰数和饱和数,  $\text{Ex}(n, F)$ ,  $\text{Sat}(n, F)$  分别是极值对应的极值图集.

1941 年, TURÁN<sup>[1]</sup> 首先利用饱和图的思想研究了完全图  $K_p$  的图兰数是图  $T_{n,r}$  的边数  $|E(T_{n,r})|$ , 并刻画了极值图集  $\text{Ex}(n, K_p) = \{T_{n,r}\}$ , 其中  $T_{n,r}$  是完全  $r$  部图且任意两部大小之差的绝对值不大于 1. 1964 年, ERDŐS 等<sup>[2]</sup> 引入了饱和数的概念, 并证明了: 当  $2 \leq p \leq n$  时,  $K_p$  的饱和数是  $\binom{n}{2} - \binom{n-p+2}{2}$ , 对应的极值图集  $\text{Sat}(n, K_p)$  中只包含一个图  $K_{p-2} + \overline{K}_{n-p+2}$ .

此后, 图兰数问题受到国内外许多学者的关注, 并取得了十分丰富且内涵深刻的成绩<sup>[3]</sup>. 另一方面, 关于饱和数问题的研究却相对缓慢, 主要集中在  $F$  是简单图的情况. 2008 年, PIKHURKO 等<sup>[4]</sup> 研究了完全二部图  $K_{2,3}$  的饱和数及对应的极值图. 完全多部图的饱和数问题的最新成果是 2021 年 CHAKRABORTI 等<sup>[5]</sup> 研究完全二部图  $K_{s,t}$  ( $s < t$ ) 得出的两个结论. 对于  $F$  是圈  $C_l$  的情况, 如果  $l = 3$ , 则  $C_3 \cong K_3$ , ERDŐS 等<sup>[2]</sup> 已经讨论了  $K_3$  饱和图的问题. 当  $l = 4$  时, 1972 年, OLLMANN 在文[6] 中证明了当  $n \geq 5$  时,  $\text{sat}(n, C_4) = \left\lfloor \frac{3n-5}{2} \right\rfloor$ . 当  $l = 5$  时, CHEN<sup>[7-8]</sup> 证明了当  $n \geq 21$  时,  $\text{sat}(n, C_5) = \left\lfloor \frac{10n-1}{7} \right\rfloor$ . 当  $l \geq 6$  时,  $\text{sat}(n, C_l)$  的精确值尚不明确. 设  $C_{\geq r}$  是一族长度大于等于  $r$  的圈, 2021 年, MA 等<sup>[9]</sup> 中给出了一些关于  $C_{\geq r}$ -饱和图的结果. 当  $l = n$  时, 即研究  $n$  阶图的  $C_n$ -饱和图(也叫极大非哈密顿图)所需的最少边数, CLARK 等<sup>[10]</sup> 指出: 当  $n$  为大于等于 36 的偶数或大于等于 53 的奇数时,  $\text{sat}(n, C_n) = \left\lfloor \frac{3n}{2} \right\rfloor$ . 他们通过推广 Isaacs 图<sup>[11]</sup> 得到了这些极大非哈密顿图. LIN 等<sup>[12]</sup> 用计算机分析剩下的  $n$  较小时的情况, 证明了:

**定理 1<sup>[12]</sup>** 当  $n$  为大于等于 20 的偶数或大于等于 17 的奇数时,  $\text{sat}(n, C_n) = \left\lfloor \frac{3n}{2} \right\rfloor$ .

树的饱和图也是研究的焦点之一, 因为有些树的结构相对简单, 有可能精确得出其饱和图边数的最小值. 1986 年, KÁSZONYI 等<sup>[13]</sup> 中解决了星图  $S_k$  的饱和数问题, 并完全刻画了对应的极值图. 同时, 他们还确定了  $k \geq 2$  且  $n$  充分大时  $P_k$  的饱和数问题. 当  $n \in \{22, 23, 30, 31, 38, 39, 40, 41, 42, 43, 46, 47, 48, 49, 50, 51\}$  和  $n \geq 54$  时, DUDEK 等<sup>[14]</sup> 给出了  $\text{sat}(n, P_n)$  的具体值. FRICK 等<sup>[15]</sup> 得到  $\text{sat}(n, P_n)$  的下界及  $n \in \{2, 3, 4, 5, 6, 7, 8, 9, 12, 13\}$  时  $\text{sat}(n, P_n)$  的值. BURGER 等<sup>[16]</sup> 证明了  $\text{sat}(n, P_n)$  的值, 并给出对应的极值图, 其中  $n \in \{10, 11, 14, 15, 16, 17, 18, 19, 20, 21, 24, 25, 26, 27, 28, 29, 32, 33\}$ . 当  $n \in K = \{34, 35, 36, 37, 44, 45, 52, 53\}$  时,  $\text{sat}(n, P_n)$  的值仍然未知.

本文作者将给出一族阶数  $n \geq 22$  的边数最少的哈密顿路径饱和图, 并由此证明  $n \in \{34, 35, 36, 37, 44, 45, 52, 53\}$  时有  $\text{sat}(n, P_n) = \left\lfloor \frac{3n-2}{2} \right\rfloor$ .

## 1 阶数 $n \geq 22$ 时的 $P_n$ 饱和数

主要证明当  $n \in K = \{34, 35, 36, 37, 44, 45, 52, 53\}$  时都有  $\text{sat}(n, P_n) = \left\lceil \frac{3n-2}{2} \right\rceil$ , 并给出边数最少的哈密顿路径饱和图的一种构造方法. 该方法可以推广到  $n \geq 22$  时的情形, 本节将按  $n \geq 22$  的情况进行讨论.

### 1.1 Isaacs 图及其扩展

ISAACS<sup>[11]</sup> 首先构造出了阶为  $4k$  ( $k \geq 5$ ,  $k$  为奇数) 的立方哈密顿圈饱和图, 称这一类图为 Isaacs 图, 记作  $J_k$ . Isaacs 图的具体构造为:  $V(J_k) = \{v_i : 0 \leq i \leq 4k-1\}$ ,  $E(J_k) = E_0 \cup E_1 \cup E_2 \cup E_3$ . 其中,

$$E_0 = \bigcup_{j=0}^{k-1} \{v_{4j}v_{4j+1}, v_{4j}v_{4j+2}, v_{4j}v_{4j+3}\}, E_1 = \{v_{4j+1}v_{4j+7}, 0 \leq j \leq k-1\},$$

$$E_2 = \{v_{4j+2}v_{4j+6}, 0 \leq j \leq k-1\}, E_3 = \{v_{4j+3}v_{4j+5}, 0 \leq j \leq k-1\}.$$

例如,  $J_5$  如图 1 所示:

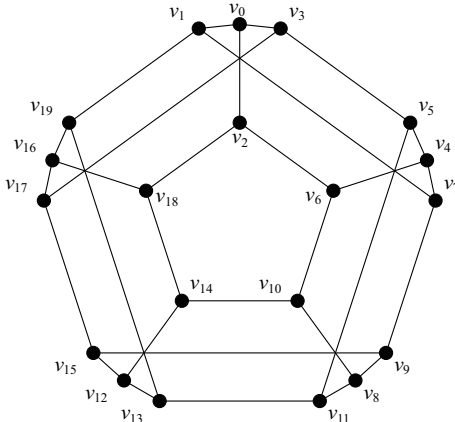


图 1 Isaacs 图  $J_5$

CLARK 等为了得到阶数  $n \geq 20$  的哈密顿圈饱和图进行了如下的构造 ([12] 中也有类似的构造): 向 Isaacs 图中添加 1 个点, 将 Isaacs 图的一条边扩展为一个三角形. 如图 2 所示, 设  $xy \in E(G)$  且  $z \notin V(G)$ . 令  $G(e) = (V(G(e)); E(G(e)))$ , 其中  $V(G(e)) = V(G) \cup \{z\}$ ,  $E(G(e)) = E(G) \cup \{xz, yz\}$ .

向 Isaacs 图中添加 2 个点, 将 Isaacs 图的一个点扩展为一个三角形. 如图 3 所示, 设  $v \in V(G)$ ,  $v$  的相邻顶点为  $v_1, v_2, v_3$  且  $w_1, w_2, w_3 \notin V(G)$ . 令  $G(v) = (V(G(v)); E(G(v)))$ , 其中  $V(G(v)) = V(G - v) \cup \{w_1, w_2, w_3\}$ ,  $E(G(v)) = E(G - v) \cup \{v_1w_1, v_2w_2, v_3w_3, w_1w_2, w_1w_3, w_2w_3\}$ .

**引理 2<sup>[10]</sup>** 设  $e = v_0v_2$ , 若  $G \in \{J_{k_1}, J_{k_2}(v_{14}), J_{k_2}(v_{14}, v_{26}), J_{k_3}(v_{14}, v_{26}, v_{38})\}$ , 其中  $k_1 \geq 5$ ,  $k_2 \geq 9$ ,  $k_3 \geq 13$ , 且  $k_1$ 、 $k_2$ 、 $k_3$  均为奇数. 于是对  $G$  中任意两个不相邻的点  $u$  和  $v$ ,  $G$  中存在以  $u$  和  $v$  为端点的经过边  $e$  的哈密顿路径.

由引理 2 可得:



图 2 向 Isaacs 图中添加 1 个点

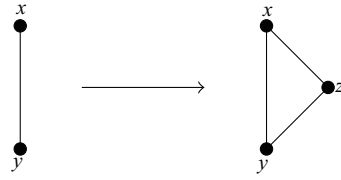


图 3 向 Isaacs 图中添加 2 个点

**引理 3<sup>[14]</sup>** 当阶数  $n \in \{20, 28, 36, 38, 40, 44, 46, 48\}$  或  $n$  为大于等于 52 的偶数时, 存在一个  $n$  阶非哈密顿图  $G_n$  满足:

(1)  $G_n$  是一个立方图;

(2)  $G_n$  中存在一条边  $e = xy$  满足  $N(x) \cap N(y) = \emptyset$  且对任意不相邻的点  $u$  和  $v$ , 图  $G_n \cup \{uv\}$  都有一个过边  $e$  的哈密顿圈.

**引理 4<sup>[14]</sup>** 设  $G$  为满足引理 3 条件的图, 则  $G' = (V'; E')$  是一个哈密顿路径饱和图, 其中  $V' = V(G) \cup \{z_1, z_2\}$ ,  $E' = E(G) \cup \{xz_1, yz_2\}$ .

**引理 5<sup>[14]</sup>** 设  $G$  为满足引理 3 条件的图, 则  $G' = (V'; E')$  是一个哈密顿路径饱和图, 其中  $V' = V(G) \cup \{z_1, z_2, z_3\}$ ,  $E' = E(G) \cup \{xz_1, yz_2, yz_3, z_2z_3\}$ .

**引理 6<sup>[12]</sup>**  $n \geq 20$  时, 表 1 中的  $G_n$  都是哈密顿圈饱和图.

表 1 阶数  $n \geq 20$  的  $G_n$ 

$m$	$G_{4k+m}(k=5)$	$G_{4k+m}(k \geq 7)$
0	$J_5$	$J_k$
1	$J_5(v_{11}v_{13})$	$J_k(v_{16}v_{18})$
2	$J_5(v_2)$	$J_k(v_0)$
3	$J_5(v_2, v_{11}v_{13})$	$J_k(v_0, v_{16}v_{18})$
4	$J_5(v_2, v_7)$	$J_k(v_0, v_4)$
5	$J_5(v_2, v_7, v_{11}v_{13})$	$J_k(v_0, v_4, v_{16}v_{18})$
6	$J_5(v_2, v_7, v_{17})$	$J_k(v_0, v_4, v_8)$
7	$J_5(v_2, v_7, v_{17}, v_{11}v_{13})$	$J_k(v_0, v_4, v_8, v_{16}v_{18})$

注意到当  $k$  为奇数且  $m \in \{0, 2, 4, 6\}$  时,  $G_{4k+m+1}$  是将  $G_{4k+m}$  中的一条边  $xy$  扩展为一个三角形后所得的图. 为了得到  $\text{sat}(n, P_n)$  的值, 先给出其下界:

**引理 7<sup>[15]</sup>** 当  $n \geq 10$  时,  $\text{sat}(n, P_n) \geq \left\lceil \frac{3n-2}{2} \right\rceil$ .

## 1.2 边数最少的哈密顿路径饱和图的构造

为了说明  $n \geq 22$  时都有  $\text{sat}(n, P_n) = \left\lceil \frac{3n-2}{2} \right\rceil$ , 先给出几个引理.

**引理8** 设  $G_{4k+m}$  是表1中的图, 其中  $k \geq 5$  且  $k$  为奇数,  $m \in \{0, 2, 4, 6\}$ . 于是  $G_{4k+m}$  是一个立方图, 且  $G_{4k+m}$  中存在一条边  $e = xy$  满足  $N(x) \cap N(y) = \emptyset$ , 且对任意不相邻的点  $u, v$ , 图  $G_{4k+m} \cup \{uv\}$  都有一个过边  $e$  的哈密顿圈.

**证明** 由表1中  $G_{4k+m}$  的构造知  $G_{4k+m}$  为立方图.  $k = 5$  时, 设  $xy = v_{11}v_{13}$ ;  $k \geq 7$  时, 设  $xy = v_{16}v_{18}$ , 于是有  $N(x) \cap N(y) = \emptyset$ . 由于  $G_{4k+m+1}$  是将  $G_{4k+m}$  中的一条边  $xy$  扩展为一个三角形后所得的图, 设  $z$  为将边  $xy$  扩展为三角形时新增的点. 由引理6可知, 表1中的  $G_{4k+m+1}$  是哈密顿圈饱和图, 并且对  $G_{4k+m+1}$  中任意不相邻的点  $v_i$  和  $v_j$  ( $v_i, v_j \neq z$ ), 图  $G_{4k+m+1} \cup \{v_iv_j\}$  中都有哈密顿圈  $C_{4k+m+1} = (\dots, x, z, y, \dots)$ . 在  $G_{4k+m}$  中添加相同的边  $v_iv_j$  后, 在  $G_{4k+m} \cup \{v_iv_j\}$  中必然会有哈密顿圈  $C_{4k+m} = (\dots, x, y, \dots)$ . 因此对于表1中  $k \geq 5$  且为奇数,  $m \in \{0, 2, 4, 6\}$  的图  $G_{4k+m}$  都满足: 存在边  $e$  使得对任意不相邻的点  $v_i$  和  $v_j$ ,  $G_{4k+m} \cup \{v_iv_j\}$  都有一个过边  $e$  的哈密顿圈.

由引理4和引理5, 用表1中的  $G_{4k+m}$  构造阶数大于等于22的哈密顿圈饱和图, 即给出  $\text{sat}(n, P_n)$  的一个上界.

**引理9**  $n \geq 22$  时,  $\text{sat}(n, P_n) \leq \left\lceil \frac{3n-2}{2} \right\rceil$ .

**证明** 只需构造出阶数  $n \geq 22$  并且边数为  $\left\lceil \frac{3n-2}{2} \right\rceil$  的哈密顿路径饱和图即可. 证明将分两种情况讨论:

**情况1**  $n$  为偶数.

由  $n$  为偶数知  $n-2 \geq 20$  也是偶数. 由于每个偶数都可以写成  $4k+m$  的形式, 其中  $k$  为奇数且  $m \in \{0, 2, 4, 6\}$ , 因此存在奇数  $k_1$  和  $m_1 \in \{0, 2, 4, 6\}$  满足  $n-2 = 4k_1+m_1$ . 设  $H$  是表1中阶数为  $4k_1+m_1$  的图, 由引理6和引理8,  $H$  和  $e = xy$  满足引理3的条件. 设  $G = (V(G); E(G))$ , 其中  $V(G) = V(H) \cup \{z_1, z_2\}$ ,  $E(G) = E(H) \cup \{xz_1, yz_2\}$ . 则由引理4,  $G$  是哈密顿路径饱和图. 因此,

$$\text{sat}(n, P_n) \leq |E(G)| = \frac{3(n-2)}{2} + 2 = \left\lceil \frac{3n-2}{2} \right\rceil.$$

**情况2**  $n$  为奇数.

由  $n$  为奇数知  $n-3 \geq 20$  为偶数. 于是存在奇数  $k_2$  和  $m_2 \in \{0, 2, 4, 6\}$  满足  $n-3 = 4k_2+m_2$ . 设  $H'$  是表1中阶数为  $4k_2+m_2$  的图, 由引理6和引理8,  $H'$  和  $e = xy$  满足引理3的条件. 设  $G' = (V(G'); E(G'))$ , 其中  $V(G') = V(H') \cup \{z_1, z_2, z_3\}$ ,  $E(G') = E(H') \cup \{xz_1, yz_2, yz_3, z_2z_3\}$ . 则由引理5,  $G'$  是哈密顿路径饱和图. 因此,

$$\text{sat}(n, P_n) \leq |E(G')| = \frac{3(n-3)}{2} + 4 = \left\lceil \frac{3n-2}{2} \right\rceil.$$

由以上两种情况引理得证.

**定理10**  $n \geq 22$  时,  $\text{sat}(n, P_n) = \left\lceil \frac{3n-2}{2} \right\rceil$ .

**证明** 由定理 7 和引理 9 可得:  $n \geq 22$  时,  $\text{sat}(n, P_n) = \left\lceil \frac{3n - 2}{2} \right\rceil$ .

## 参考文献:

- [1] TURÁN P. Eine extremalaufgabe aus der graphentheorie [J]. Teoreticheskaya I Matematicheskaya Fizika, 1941, 48: 436–452.
- [2] ERDŐS P, HAJNAL A, MOON J W. A problem in graph theory [J]. American Mathematical Monthly, 1964, 71: 1107–1110.
- [3] FÜREDI Z, SIMONOVITS M. The history of degenerate (bipartite) extremal graph problems [J]. Erdős Centennial, 2013, 25: 169–264.
- [4] PIKHURKO O, SCHMITT J R. A note on minimum  $K_{2,3}$ -saturated graphs [J]. The Australasian Journal of Combinatorics, 2008, 40: 211–215.
- [5] CHAKRABORTI D, CHEN D, HASABNIS M. Minimizing the number of edges in  $K_{s,t}$ -saturated bipartite graphs [J]. SIAM Journal on Discrete Mathematics, 2021, 35: 1165–1181.
- [6] OLLMANN L T.  $K_{2,2}$  saturated graphs with a minimal number of edges [C]. In Proceedings of the Third Southeastern Conference on Combinatorics, Graph Theory, and Computing. Boca Raton: Florida Atlantic University, 1972, 367–392.
- [7] CHEN Y. Minimum  $C_5$ -saturated graphs [J]. Journal of Graph Theory, 2009, 61(2): 111–126.
- [8] CHEN Y. All minimum  $C_5$ -saturated graphs [J]. Journal of Graph Theory, 2011, 67(1): 9–26.
- [9] MA Y, HOU X, HEI D, et al. Minimizing the number of edges in  $C_{\geq r}$ -saturated graphs [J]. Discrete Mathematics, 2021, 344(11): 112565.
- [10] CLARK L H, ENTRINGER R C, SHAPIRO H D. Smallest maximally nonhamiltonian graphs II [J]. Graphs Combin, 1992, 8(3): 225–231.
- [11] ISAACS R. Infinite families of nontrivial trivalent graphs which are not Tait colorable [J]. American Mathematical Monthly, 1975, 82: 221–239.
- [12] LIN X, JIANG W, ZHANG C, et al. On smallest maximally nonhamiltonian graphs [J]. Ars Combinatoria, 1997, 45: 263–270.
- [13] KÁSZONYI L, TUZA Z. Saturated graphs with minimal number of edges [J]. Journal of Graph Theory, 1986, 10(2): 203–210.
- [14] DUDEK A, KATONA G, WOJDA A. Hamiltonian path saturated graphs with small size [J]. Discrete Applied Mathematics, 2006, 154(9): 1372–1379.
- [15] FRICK M, SINGLETON J. Lower bound for the size of maximal nontraceable graphs [J]. Electronic Journal of Combinatorics, 2005, 12(1): R32.
- [16] BURGER A P, SINGLETON J E. Further results on Maximal Nontraceable graphs of smallest size [J]. Discrete Mathematics and Theoretical Computer Science, 2013, 15(1): 75–92.

(责任编辑: 冯珍珍, 包震宇)